

Rapport de TP

Simulation de lois de Probabilités
Cours de Mesures et Probabilité Statistique

Mr N'Guessan



Master Data Science en Santé - 1ère année
Année universitaire 2024-2025

Université de Lille
UFR3S – Faculté d'ingénierie et management de la santé (ILIS)
42 rue Ambroise Paré – 59120 LOOS

Table des matières

I. Introduction.....	1
1. Exemple pour la loi normale.....	1
II. Lois discrètes	2
1. Loi uniforme discrète.....	2
2. Loi de Bernoulli.....	2
3. Loi binomiale.....	3
4. Loi géométrique	4
5. Loi de Poisson.....	4
III. Lois continues	6
1. Loi uniforme sur $[0,1]$, notée $U_{[0,1]}$	6
2. Loi uniforme sur $[a,b]$, notée $U_{[a,b]}$, avec $(a < b)$	6
3. Loi normale centrée réduite	7
4. Loi normale $N(\mu, \sigma^2)$	8
IV. Exercices sur la loi normale	9
1. Distribution des valeurs.....	9
a) Question 1.....	9
b) Question 2.....	10
c) Question 3.....	10
d) Question 4.....	11
e) Question 5.....	11
f) Question 6.....	12
V. Lien entre lois normales	13
VI. Sommes de variables aléatoires gaussiennes.....	14
VII. Somme de carrés de variables gaussiennes centrées réduites	14
VIII. Exercice.....	15
IX. Loi Exponentielle	15
Bibliographie	
Annexes.....	I

Table des Figures

FIGURE 1 - Exemple de représentation graphique pour la loi normale.....	1
FIGURE 2 - Exemple de représentation graphique d'une variable suivant une loi uniforme discrète...	2
FIGURE 3 - Exemple de représentation graphique d'une variable suivant une loi géométrique.....	4
FIGURE 4 - Exemple de représentation graphique d'une variable suivant une loi de Poisson	5
FIGURE 5 - Représentation graphique simulant différentes lois de Poisson en faisant varier λ	5
FIGURE 6 - Exemple de représentation graphique d'une variable suivant une loi uniforme sur $[0,1]$.	6
FIGURE 7 - Exemple de représentation graphique d'une variable suivant une loi uniforme sur $[2,5]$.	7
FIGURE 8 - Densité de la loi Normale centrée réduite	7
FIGURE 9 - Exemple de représentation graphique d'une variable suivant une loi normale centrée réduite.....	8
FIGURE 10 - Densité de la loi $N(1,4)$	8
FIGURE 11 - Exemple de représentation graphique pour l'échantillon nd1	10
FIGURE 12 - Histogrammes des 5 échantillons.....	10
FIGURE 13 - Fonctions de répartition des 5 échantillons.....	11
FIGURE 14 - Courbe de densité et Courbe cumulative simulé selon le script R associé au TP	12
FIGURE 15 - Distribution des variables X_1, X_2, X_3, X_4	13
FIGURE 16 - Distribution de la variable Z	13
FIGURE 17 - Représentation graphique de variables aléatoires gaussiennes	14
FIGURE 18 - Représentation graphique de somme de carrés de variables gaussiennes centrées réduites	14

Table des tableaux

TABLE 1 - Tableau de comparaison des quantiles de la loi normale	1
TABLE 2 - Fréquences observées de l'échantillon simulé par la loi de Bernoulli.....	2
TABLE 3 - Fréquences observées des échantillon simulé suivant la loi binomiale $B(n,p)$	3
TABLE 4 - Fréquences théoriques des échantillons simulé suivant la loi binomiale $B(n,p)$	3
TABLE 5 - Distribution des valeurs pour $n = 20$	9
TABLE 6 - Distribution des valeurs pour $n = 2000$	9

I. Introduction

Dans le logiciel R, on peut simuler très simplement à peu près toutes les lois classiques. Dans ce rapport, on se propose, pour chaque loi usuelle, de simuler des échantillons, et de calculer la moyenne et la variance de ces échantillons, ainsi que faire des graphiques représentant ces lois. Il y a quatre commandes à connaître pour chaque loi : **rma**loi : permet de simuler selon maloi ; **dma**loi : permet de calculer la densité de maloi ; **pma**loi : permet de calculer la fonction de répartition de maloi ; **qma**loi : permet de calculer le quantile de maloi.

Ce rapport présente une analyse sur les simulations et approximations des lois de probabilités usuelles. Cette étude a été réalisée conformément aux directives et au code fournis dans le travail pratique (<https://fcorset.github.io/TPs/tp2.html>) ayant pour intitulé « TP 2 : Simulation de lois de probabilités » [1].

En annexe, il est possible de retrouver le code utilisé lors de la réalisation de ce TP. A noter que seul le code non inclus dans le TP suivi a été ajouté dans ce rapport. L'intégralité du code est disponible dans un dossier associé, sous format '.R'. Ce code est commenté de manière cohérente avec ce rapport, afin de faciliter la suivie et la compréhension de l'ensemble du travail réalisé.

1. Exemple pour la loi normale

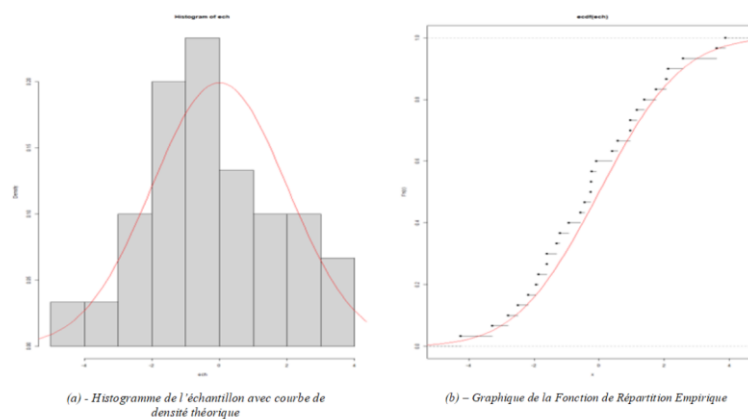


FIGURE 1 - Exemple de représentation graphique pour la loi normale

TABLE 1 - Tableau de comparaison des quantiles de la loi normale

	5%	10%	25%	50%	75%	90%	95%
quantile.echantillon	-2.982250	-2.307173	-1.653392	-0.6537908	0.7997959	1.780225	3.044688
quantile.normale	-3.289707	-2.563103	-1.348980	0.0000000	1.3489795	2.563103	3.289707

Dans cet exemple, nous avons simulé un échantillon de taille $n = 30$ selon une loi normale d'espérance 0 et d'écart-type 2.

L'histogramme (Figure 1a) met en évidence des fluctuations aléatoires entre la simulation et la densité théorique. Ces écarts apparaissent également sur le graphique de la fonction de répartition empirique (Figure 1b) et le tableau de comparaison des quantiles (Table 1).

Les écarts observés sont attribuables à la taille réduite de l'échantillon. Une augmentation de la taille de l'échantillon n permettrait d'obtenir une approximation plus précise de la distribution théorique (*Loi des grands nombres*) [2].

II. Lois discrètes

1. Loi uniforme discrète

La loi discrète uniforme est une loi de probabilité discrète indiquant une probabilité de se réaliser identique (*équiprobabilité*) à chaque valeur d'un ensemble fini de valeurs possibles.

Soit X une variable aléatoire suivant une loi uniforme discrète sur un ensemble $\{k_1, k_2, \dots, k_n\}$. La probabilité associée à chaque valeur k_i est donnée par :

$$\forall k \in \{1, \dots, n\}, p(X = k_i) = \frac{1}{n} \leftrightarrow X \hookrightarrow U(\{1, \dots, n\})[3].$$

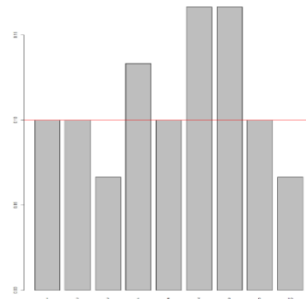


FIGURE 2 - Exemple de représentation graphique d'une variable suivant une loi uniforme discrète

Dans cet exemple, nous avons généré un échantillon de taille $n = 30$ selon une loi uniforme discrète $U(\{1, \dots, 10\})$.

L'histogramme (Figure 2) met en évidence, par la ligne horizontale rouge représentant la probabilité théorique $p(X) = \frac{1}{10}$, que les fréquences observées diffèrent des valeurs théoriques attendues.

Ce résultat illustre un principe statistique fondamental : les échantillons de petite taille tendent à présenter des écarts plus importants par rapport à la distribution théorique, en raison de leur plus grande sensibilité aux fluctuations d'échantillonnages [4]. Ainsi, pour démontrer la validité de la loi uniforme discrète de manière plus précise, une augmentation de la taille de l'échantillon serait nécessaire [2].

2. Loi de Bernoulli

Une épreuve présentant deux issues possibles est appelée une épreuve de Bernoulli, notée $B_{(p)}$. Les deux issues sont définies comme suit : le succès, noté $X = 1$, se produit avec une probabilité p ; l'échec, noté $X = 0$, se produit avec une probabilité q [5] :

$$p(X = 1) = p \quad \text{et} \quad p(X = 0) = 1 - p = q$$

TABLE 2 - Fréquences observées de l'échantillon simulé par la loi de Bernoulli

ech	0	1
	0.6333333	0.3666667

Dans cette simulation, nous avons généré un échantillon de taille $n = 30$ suivant une loi de Bernoulli $B(0.3)$. Étant donné que la loi de Bernoulli ne prend que deux valeurs possibles, 0 et 1, les probabilités théoriques associées sont les suivantes :

$$p(\text{Echec} = 0) = 0.7 \quad p(\text{Succès} = 1) = 0.3$$

En examinant les fréquences observées (Table 2), la fréquence de succès est de 0,37 et celle d'échec est de 0,67. Ces valeurs sont proches des probabilités théoriques attendues, ce qui valide la simulation. Les écarts observés peuvent être attribués à des fluctuations d'échantillonnage dues à la taille de l'échantillon, mais ils restent dans une plage cohérente avec le modèle théorique.

3. Loi binomiale

La loi binomiale est une loi de probabilité définie sur l'ensemble $\{0, \dots, n\}$, qui modélise le nombre de succès obtenus lors de n essais indépendants, chacun ayant une probabilité de succès p .

Si une variable aléatoire X suit une loi binomiale $B(n, p)$, elle peut prendre les valeurs entières de 0 à n . Pour résumer, soit $Y_i \hookrightarrow B(p)$ pour $i = 1, \dots, n$, où les Y_i sont indépendants. On note :

$$X = \sum_{i=1}^n Y_i \rightsquigarrow B(n, p)$$

Les valeurs possibles pour la variable X sont $\{0, \dots, n\}$ et [6] :

$$\forall k \in \{1, \dots, n\}, p(X = k_i) = C_n^k p^k (1 - p)^{n-k}$$

TABLE 3 - Fréquences observées des échantillon simulé suivant la loi binomiale $B(n, p)$

ech	5	6	7	8	9	10	ech	0	1	2	3	4	5	6	7	8
0.06	0.16	0.16	0.36	0.15	0.11		0.01	0.04	0.16	0.23	0.25	0.15	0.10	0.03	0.03	

(a) - Table [5,10] des fréquences observées de l'échantillon simulé par la loi binomiale de $B(10, 0.8)$

(b) - Table [0,8] des fréquences observées de l'échantillon simulé par la loi binomiale de $B(10, 0.4)$

Dans cet exemple, nous avons simulé un échantillon de taille $n = 100$ suivant deux loi binomiale : $B(10, 0.4)$ et $B(10, 0.8)$. Pour chaque distribution, nous avons observé le nombre de succès de 10 essais indépendants répétés 100 fois.

On peut mettre en évidence que pour la simulation $B(10, 0.4)$, la fréquence la plus élevée est $p(X = 4) = 0.25$, tandis que pour $B(10, 0.8)$, la fréquence la plus élevée est $p(X = 8) = 0.36$. Ces résultats se corréleront avec la propriété d'espérance de la loi binomiale : $E[X] = np$. En effet :

- Pour $B(10, 0.4)$, $E[X] = 10 \times 0.4 = 4$, ce qui correspond à la valeur la plus fréquente.
- Pour $B(10, 0.8)$, $E[X] = 10 \times 0.8 = 8$, ce qui correspond également à la valeur la plus fréquente.

TABLE 4 - Fréquences théoriques des échantillons simulé suivant la loi binomiale $B(n, p)$

0	1	2	3	4	5	6	7	8	9	10	0	1	2	3	4	5	6	7	8	9	10
0.000	0.000	0.000	0.001	0.006	0.026	0.088	0.201	0.302	0.268	0.107	0.006	0.040	0.121	0.215	0.251	0.201	0.111	0.042	0.011	0.002	0.000

(a) - Table des fréquences théoriques de l'échantillon de loi binomiale $B(10, 0.8)$

(b) - Table des fréquences théoriques de l'échantillon de loi binomiale $B(10, 0.4)$

En comparant les fréquences théoriques (Table 4) avec les fréquences observées lors des simulations (Table 3), on observe on peut ressortir une concordance générale dans les résultats. Bien que des variations mineures soient présentes, elles peuvent être attribuées à la taille finie de l'échantillon, soit le nombre de répétitions.

En modifiant les paramètres p et n lors de différentes simulations suivant la loi binomiale, plusieurs observations peuvent également être faites :

- Lorsque n est élevé, la loi binomiale tend à devenir symétrique lorsque p est proche de 0,5. En revanche, pour des valeurs p proches de 0 ou de 1, la distribution reste asymétrique.
- Si p est proche de 0, la distribution se concentre vers 0 succès ; si p est proche de 1, elle se concentre vers n succès.

4. Loi géométrique

La loi géométrique, notée $G(p)$ avec $0 < p < 1$, est une loi de probabilité discrète qui modélise l'observation du nombre d'épreuves de Bernoulli identiques et indépendantes devant se succéder pour espérer un premier succès [7].

Cette loi correspond au schéma suivant. On répète, de façon indépendante, une même expérience (qui a une probabilité p de réussite et une probabilité $q = 1 - p$ d'échec) et on note X le rang du premier succès.

Les valeurs prises par X sont donc $X(\Omega) = \mathbb{N}^*$ et les probabilités associées sont [8] :

$$\forall k \in \mathbb{N}^*, p_k = P(X = k) = (1 - p)^{k-1}p = q^{k-1}p$$

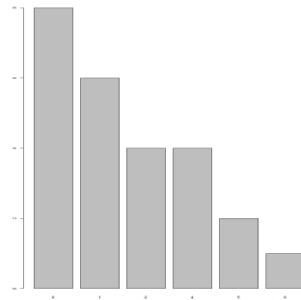


FIGURE 3 - Exemple de représentation graphique d'une variable suivant une loi géométrique

Dans cet exemple, nous avons généré un échantillon de taille $n = 25$ suivant une loi géométrique $G(0.3)$. L'histogramme des fréquences observées (Figure 3) montre une tendance décroissante, correspondant aux fréquences théoriques attendues : $P(X = 0) = 7.5$; $P(X = 1) = 5.25$; $P(X = 2) = 3.675$.

Cette observation met en évidence une propriété de la loi géométrique, disant que la probabilité de succès diminue de manière exponentielle à chaque essai supplémentaire.

5. Loi de Poisson

Cette loi décrit la probabilité qu'un événement se réalise durant un intervalle de temps donné, lorsque la probabilité de réalisation d'un événement est très faible et que le nombre d'essais est très grand.

On dit que X suit une loi de Poisson, notée $P(\lambda)$ avec $\lambda > 0$.

On peut voir cette loi comme la loi des événements rares. Cette loi est une approximation de la loi binomiale, $B(n, p)$ lorsque n est grand et p petit (i.e. pour des événements rares). On pose alors $\lambda = np$. En pratique, on dit que cette approximation est bonne dès que $n > 20$ et $p \leq 0.1$ et $np \leq 5$.

Les valeurs possibles pour X sont dans \mathbb{N} et les probabilités associées [9] :

$$\forall k \in \mathbb{N}, p_k = P(X = k) = e^{-\lambda} \frac{\lambda^k}{k!}$$

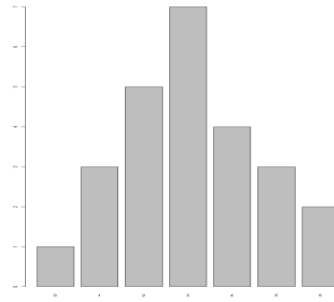


FIGURE 4 - Exemple de représentation graphique d'une variable suivant une loi de Poisson

Dans cet exemple, nous avons généré un échantillon de taille $n = 25$ suivant une loi de Poisson $P(3)$, conformément aux conditions $n > 20$ et $p \leq 0.1$ et $np \leq 5$.

L'histogramme des fréquences observées (Figure 4) montre une concordance avec les fréquences théoriques attendues :

- $P(X = 3) = \frac{3^3 e^{-3}}{3!} \approx 0.224$
- $P(X = 4) = \frac{3^4 e^{-3}}{4!} \approx 0.168$

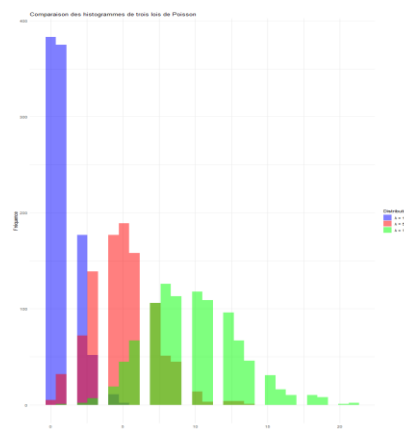


FIGURE 5 - Représentation graphique simulant différentes lois de Poisson en faisant varier λ

Lors de la variation du paramètre λ de la loi de Poisson, une influence significative sur la forme et les propriétés de la distribution est observée (Figure 5). En effet, λ , représentant l'espérance de la loi de Poisson, détermine à la fois la moyenne et la variance de la distribution, ce qui influe sur la probabilité d'observer un certain nombre d'événements dans un intervalle donné.

Lorsque λ augmente, la distribution présente une augmentation du nombre d'événements observés, accompagnée d'une variabilité accrue des résultats. Cela se traduit par une concentration plus marquée des probabilités autour des valeurs élevées, indiquant une fréquence d'occurrence plus élevée des événements.

III. Lois continues

1. Loi uniforme sur $[0,1]$, notée $U_{[0,1]}$

Une variable aléatoire X suit la loi uniforme sur l'intervalle $[0,1]$, notée $X \sim U([0,1])$, si et seulement si, pour tout intervalle I inclus dans $[0,1]$, la probabilité de l'événement « $x \in I$ » est l'aire de l'ensemble des points $M(x, y)$ tels que $x \in I$ et $0 \leq y \leq 1$ [10].

On dit qu'une X suit une loi uniforme sur $[0,1]$ si et seulement si sa densité est la fonction définie sur $[0,1]$:

$$\forall x \in \mathbb{R}, f(x) = \begin{cases} 1 & \text{si } x \in [0, 1] \\ 0 & \text{sinon} \end{cases}$$

La fonction de répartition d'une loi uniforme sur $[0,1]$ est :

$$\forall x \in \mathbb{R}, F(x) = \int_{-\infty}^x f(t) dt = \begin{cases} 0 & \text{si } x < 0 \\ x & \text{si } x \in [0, 1] \\ 1 & \text{si } x > 1 \end{cases}$$

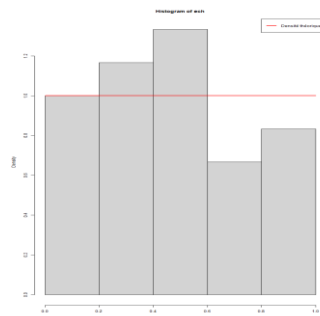


FIGURE 6 - Exemple de représentation graphique d'une variable suivant une loi uniforme sur $[0,1]$

Dans cet exemple, nous avons généré un échantillon de taille $n = 30$ suivant une loi uniforme sur $[0,1]$.

L'histogramme (Figure 6) met en évidence, par la ligne horizontale rouge représentant la probabilité théorique, que les fréquences observées diffèrent légèrement des valeurs théoriques attendues. Cette ligne souligne l'hypothèse d'équiprobabilité de chaque issue, indiquant que la probabilité de chaque résultat est identique dans le modèle théorique.

Pour démontrer la validité de la loi uniforme continue de manière plus précise, une augmentation de la taille de l'échantillon serait nécessaire.

2. Loi uniforme sur $[a,b]$, notée $U_{[a,b]}$, avec $(a < b)$

On dit que la variable aléatoire X suit une loi uniforme sur un segment $[a,b]$ si sa densité de probabilité $f(x)$ est une constante C sur $[a,b]$ et est nulle en dehors du segment $[a,b]$.

On dit que $X \sim U[a,b]$ si et seulement si sa fonction densité est [11] :

$$\forall x \in \mathbb{R}, f(x) = \begin{cases} \frac{1}{b-a} & \text{si } x \in [a, b] \\ 0 & \text{sinon} \end{cases}$$

La fonction de répartition d'une loi uniforme sur $[a,b]$ est :

$$\forall x \in \mathbb{R}, F(x) = \int_{-\infty}^x f(t) dt = \begin{cases} 0 & \text{si } x < a \\ \frac{x-a}{b-a} & \text{si } x \in [a, b] \\ 1 & \text{si } x > b \end{cases}$$

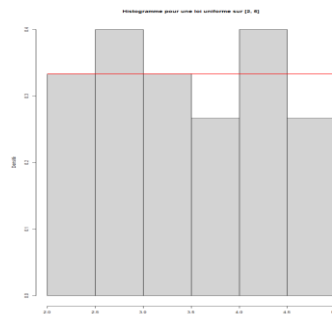


FIGURE 7 - Exemple de représentation graphique d'une variable suivant une loi uniforme sur $[2,5]$

Dans cet exemple, nous avons généré un échantillon de taille $n = 30$ suivant une loi uniforme sur $[2,5]$.

L'histogramme (Figure 6) montre que les fréquences observées convergent vers la densité théorique de la loi uniforme sur $[2,5]$, représentée par la ligne horizontale rouge. Cette densité théorique est donnée par $f(x) = \frac{1}{5-2} = \frac{1}{3}$, indiquant une distribution uniforme des probabilités sur cet intervalle.

Cependant, des variations mineures sont présentes dans les fréquences observées, dues à la taille limitée de l'échantillon.

3. Loi normale centrée réduite

On dit qu'une variable aléatoire X suit la loi normale centrée réduite, ce que l'on note $X \hookrightarrow N(0,1)$, si elle admet comme fonction densité de X [12] :

$$\forall x \in \mathbb{R}, f(x) = \frac{1}{\sqrt{2\pi}} e^{-\frac{x^2}{2}}$$

Une telle variable aléatoire X admet alors une espérance $E(X) = 0$ et une variance $V(X) = 1$.

Le premier paramètre de la loi normale est l'espérance de la loi et le second correspond à la variance de la loi. On peut remarquer que cette fonction est paire, i.e. $\forall x \in \mathbb{R}, f(-x) = f(x)$, ce qui implique une symétrie par rapport à l'axe des ordonnées (Figure 8).

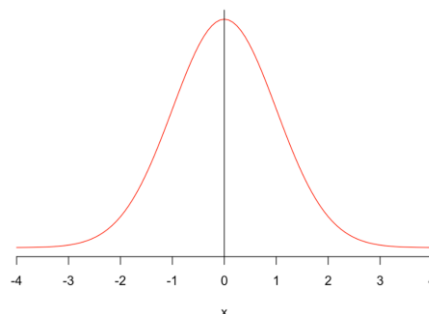


FIGURE 8 - Densité de la loi Normale centrée réduite

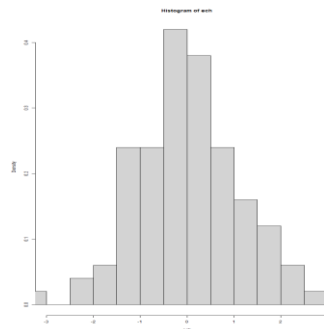


FIGURE 9 - Exemple de représentation graphique d'une variable suivant une loi normale centrée réduite

Dans cet exemple, nous avons généré un échantillon de taille $n = 100$ selon une loi normale centrée réduite $N(0,1)$.

L'histogramme des fréquences observées (Figure 9) montre une concordance proche avec les fréquences théoriques attendues :

- $f(1) = f(-1) = \frac{1}{\sqrt{2\pi}} e^{-\frac{(-1)^2}{2}} \approx 0.242$
- $f(2) = f(-2) = \frac{1}{\sqrt{2\pi}} e^{-\frac{(-2)^2}{2}} \approx 0.054$

Ces valeurs sont proches des probabilités théoriques attendues, ce qui valide la simulation. Les écarts observés peuvent être attribués à des fluctuations d'échantillonnage dues à la taille de l'échantillon, mais ils restent dans une plage cohérente avec le modèle théorique.

4. Loi normale $N(\mu, \sigma^2)$

On dit que $X \hookrightarrow N(\mu, \sigma^2)$ si sa fonction densité, ayant comme représentation graphique une courbe en cloche, est :

$$\forall x \in \mathbb{R}, f(x) = \frac{1}{\sigma\sqrt{2\pi}} e^{-\frac{(x-\mu)^2}{2\sigma^2}}$$

On pourra vérifier que l'intégrale de cette fonction sur \mathbb{R} vaut bien 1. μ représente l'espérance de la loi et σ^2 la variance.

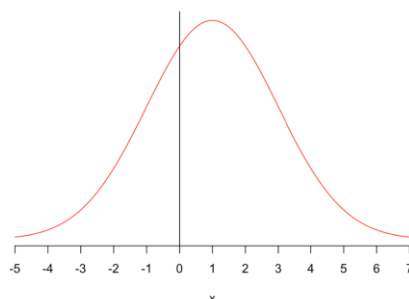


FIGURE 10 - Densité de la loi $N(1,4)$

Dans cet exemple (Figure 10), nous avons généré une courbe de densité d'une loi normale $N(1,4)$, qui est une distribution normale avec une moyenne $\mu = 1$ et une variance $\sigma^2 = 4$.

Les distributions normales $N(0,1)$ et $N(1,4)$ diffèrent principalement en termes de leur moyenne et de leur variance, ce qui affecte la position et l'étalement de leurs courbes de densité : $N(0,1)$ présente un pic centré à $x = 0$, avec une courbe étroite ; $N(1,4)$ présente un pic décalé à $x = 1$, avec une courbe plus large.

Théorème : Si $\mathbf{X} \rightsquigarrow \mathcal{N}(\mu, \sigma^2)$ alors $\frac{\mathbf{X} - \mu}{\sigma} \rightsquigarrow \mathcal{N}(0, 1)$

Le théorème indique que, pour une variable $X \sim \mathcal{N}(\mu, \sigma^2)$, on peut obtenir une loi normale centrée réduite en utilisant la transformation standardisée $\frac{X - \mu}{\sigma} \sim \mathcal{N}(0, 1)$. Cela signifie que toute distribution normale peut être transformée en une distribution normale standard, avec une moyenne de 0 et une variance de 1.

IV. Exercices sur la loi normale

1. Distribution des valeurs

Pour simuler n valeurs aléatoirement suivant la loi normale de moyenne m et d'écart-type s on utilise sous R la commande **rnorm**.

Pour chacun des échantillons générés $N(0,1)$, $N(1,1)$, $N(2,1)$, $N(0,2)$, $N(0,4)$, les résultats ont été compilés dans un tableau (Table 5).

TABLE 5 - Distribution des valeurs pour $n = 20$

N = 20	m = 0 et s = 1	m = 1 et s = 1	m = 2 et s = 1	m = 0 et s = 2	m = 0 et s = 4
< -2	1	0	0	4	5
< 0	11	3	0	7	5
= 0	0	0	0	0	0
> 2	1	0	10	3	5

a) Question 1

Avec les mêmes valeurs des moyennes et des écart-types, on simule maintenant des échantillons de taille $n = 2000$ individus. Pour chacun des échantillons générés les résultats ont été compilés dans un tableau (Table 6).

TABLE 6 - Distribution des valeurs pour $n = 2000$

n= 2000	m = 0 et s = 1	m = 1 et s = 1	m = 2 et s = 1	m = 0 et s = 2	m = 0 et s = 4
< -2	(nb= 54) 2.70%	(nb= 5) 00.25%	(nb= 0) 0%	(nb= 308) 15.40%	(nb= 614) 30.70%
< 0	(nb= 997) 49.85%	(nb= 313) 15.65%	(nb= 30) 1.50%	(nb= 969) 48.45%	(nb= 992) 49.60%
= 0	(nb= 0) 0%	(nb= 0) 0%	(nb= 0) 0%	(nb= 0) 0%	(nb= 0) 0%
> 2	(nb= 0) 2.25%	(nb= 0) 15.85%	(nb= 0) 50.60%	(nb= 0) 16.35%	(nb= 0) 30.90%

b) Question 2

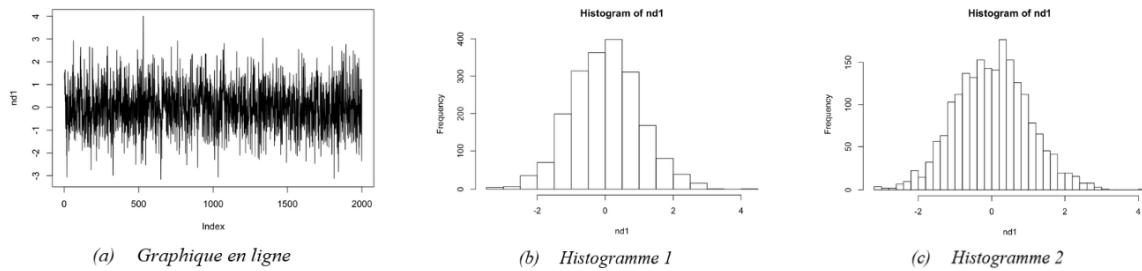


FIGURE 11 - Exemple de représentation graphique pour l'échantillon $nd1$

La fonction `plot()` trace un graphique en ligne (Figure a) des valeurs contenues dans l'objet $nd1$. Lorsque le graphique est tracé, les axes x et y correspondent aux éléments suivants : x représente les indices des valeurs dans le vecteur $(1, 2, 3, \dots, n)$; y représente les valeurs elles-mêmes du vecteur $nd1$.

L'histogramme, avec un nombre de segments ajusté via la fonction `'breaks()'`, permet une interprétation plus précise des distributions par rapport au nuage de points. Pour l'échantillon étudié, un histogramme à 50 segments (Figure c) offre une meilleure approximation d'une distribution normale, améliorant ainsi la clarté et la précision de l'analyse des variations de valeurs.

c) Question 3

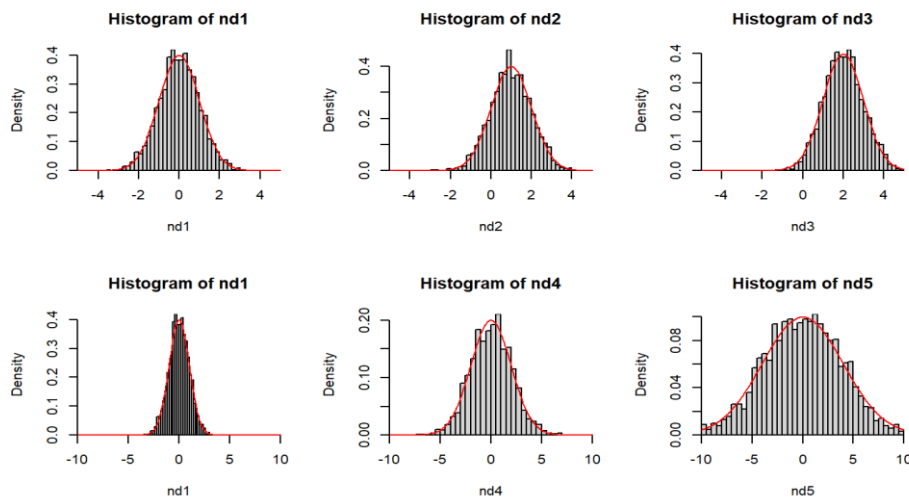


FIGURE 12 - Histogrammes des 5 échantillons

Comparaison des courbes $nd1$, $nd2$, $nd3$:

L'analyse des courbes $nd1$, $nd2$, et $nd3$ révèle une variation minimale de la densité entre elles. Toutefois, il est notable que l'augmentation de la moyenne μ entraîne un déplacement vers la droite de la courbe correspondante.

Comparaison des courbes $nd1$, $nd4$, $nd5$:

Pour les courbes $nd1$, $nd4$, et $nd5$, il est observé qu'elles demeurent centrées autour de 0, en raison de l'égalité de leurs moyennes. Néanmoins, on constate que l'augmentation de l'écart-type σ^2 se traduit par un élargissement de la courbe, ce qui accentue son amplitude sur l'axe des abscisses.

d) Question 4

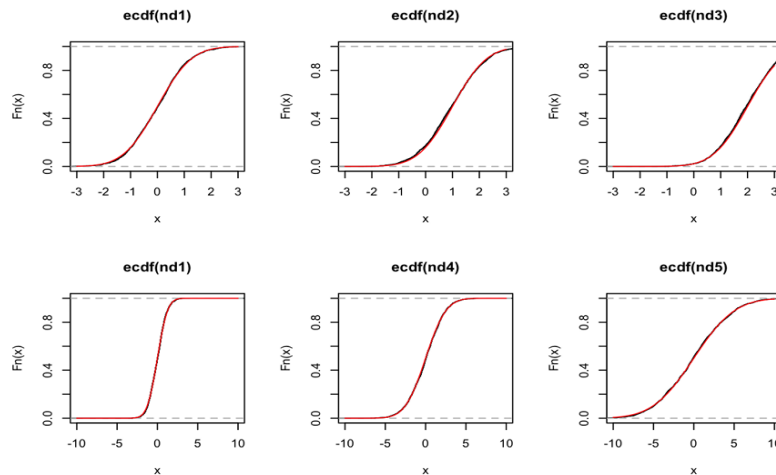


FIGURE 13 - Fonctions de répartition des 5 échantillons

Comparaison des courbes $nd1$, $nd2$, $nd3$:

L'analyse des courbes $nd1$, $nd2$, et $nd3$ révèle un décalage des distributions entre elles. Plus précisément, l'augmentation de la moyenne μ entraîne un déplacement vers la droite des distributions correspondantes. Cela indique que chaque distribution reste symétrique autour de sa moyenne respective, mais que les moyennes μ croissantes se traduisent par un décalage progressif des courbes sur l'axe des abscisses.

Comparaison des courbes $nd1$, $nd4$, $nd5$:

Pour les courbes $nd1$, $nd4$, et $nd5$, il est observé qu'elles demeurent centrées autour de 0, en raison de l'égalité de leurs moyennes μ . Cependant, l'augmentation de l'écart-type σ^2 entre les courbes entraîne un élargissement progressif de la courbe, ce qui accentue sa dispersion sur l'axe des abscisses. Cela illustre que, bien que les distributions aient la même moyenne μ , un écart-type σ^2 plus grand augmente la dispersion et la variabilité des valeurs autour de cette moyenne.

e) Question 5

On veut montrer le lien entre la densité et la fonction de répartition.

La densité de la loi normale de moyenne $\mu = 0$ et de variance $\sigma^2 = 1$, que l'on note $X \hookrightarrow N(0,1)$, est donné par la formule suivante :

$$\forall x \in \mathbb{R}, f(x) = \frac{1}{\sqrt{2\pi}} e^{-\frac{x^2}{2}}$$

Le lien entre la densité et la fonction de répartition est donné de la manière suivante [13] :

$$f(x) = \frac{1}{s\sqrt{2\pi}} e^{-\frac{(x-m)^2}{2s^2}}$$

$$F(t) = P(X \leq t) = \int_{-\infty}^t f(x) dx$$

La valeur au point t de la fonction de répartition (théorique) $F(t)$ d'une loi gaussienne de moyenne m et d'écart-type s est donnée par la commande `pnorm(t,m,s)` de R.

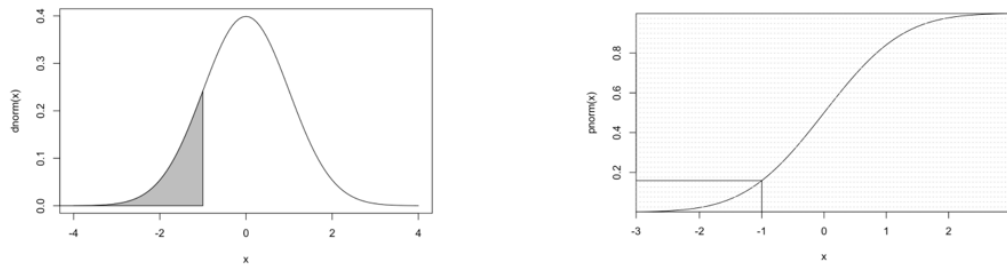


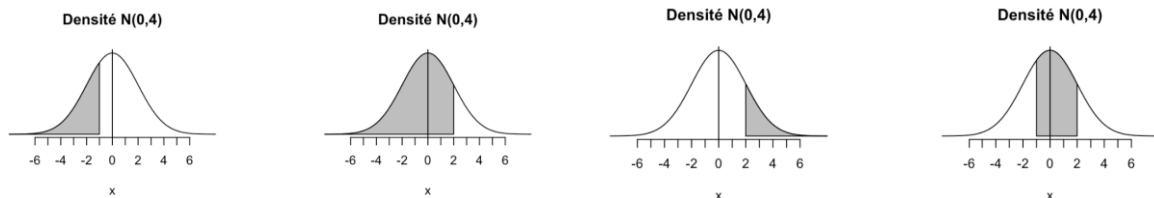
FIGURE 14 - Courbe de densité et Courbe cumulative simulé selon le script R associé au TP

Le script R associé permet de visualiser et de calculer la probabilité qu'une variable normale standard soit inférieure à -1.

Ce script montre visuellement le lien entre la densité et la fonction de répartition en coloriant l'aire sous la courbe de la densité, qui correspond à la probabilité cumulée. La fonction de répartition $F(t)$ à un point t correspond précisément à l'intégrale de la densité de probabilité de $-\infty$ à t , soit l'aire sous la courbe jusqu'à ce point.

Le script permet ainsi de visualiser la probabilité cumulée et de comparer cette valeur théorique avec l'aire sous la courbe de densité. Cela met en évidence le rôle crucial de l'intégrale dans le calcul de la fonction de répartition et illustre comment cette dernière est directement reliée à la densité de probabilité.

f) Question 6



Aire de la figure	Proba représentée par l'aire	Ecriture avec $F(t)$	Valeur numérique $pnorm$
1	$P(X < -1)$	$F(-1)$	$pnorm(-1) \approx 0.3085$
2	$P(X < 2)$	$F(2)$	$pnorm(2) \approx 0.8413$
3	$P(X > 2)$	$1 - F(2)$	$1 - pnorm(2) \approx 0.1587$
4	$P(-1 < X < 2)$	$F(2) - F(-1)$	$pnorm(2) - pnorm(-1) \approx 0.5328$

Soit X une variable aléatoire gaussienne de moyenne 15 et de variance 9.

- $P(X \leq 17) = pnorm(\frac{17-15}{3}) = pnorm(\frac{2}{3}) \approx 0.5879$
- $P(X > 7) = 1 - P(X \leq 7) = pnorm(\frac{7-15}{3}) = 1 - pnorm(-\frac{8}{3}) \approx 0.8129$
- $P(7 < X < 15) = P(X < 15) - P(X \leq 7) = pnorm(\frac{15-15}{3}) - pnorm(-\frac{8}{3}) \approx 0.3129$

V. Lien entre lois normales

Soit X une variable aléatoire distribuée suivant la loi normale d'espérance 0 et d'écart-type 1. Les variables $X_1 = X+1$, $X_2 = X-1$, $X_3 = 2X$ et $X_4 = X/2$, où $X \sim N(0,1)$, suivent aussi une loi normale comme l'illustre les simulations réalisées (Figure 15) :

- $X_1 = X + 1$ suit une loi normale d'espérance $0 + 1 = 1$ et d'écart-type 1, donc $X_1 \sim N(1,1)$
- $X_2 = X - 1$ suit une loi normale d'espérance $0 - 1 = -1$ et d'écart-type 1, donc $X_2 \sim N(-1,1)$
- $X_3 = 2X$ suit une loi normale d'espérance 0 et d'écart-type 2, donc $X_3 \sim N(0,2^2) = N(0,4)$
- $X_4 = X/2$ suit une loi normale d'espérance 0 et d'écart-type $1/2$, donc $X_4 \sim N(0, (1/2)^2) = N(0,0.25)$

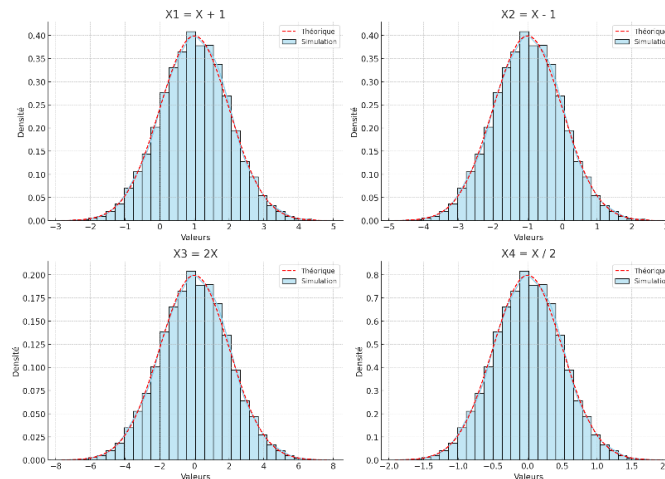


FIGURE 15 - Distribution des variables X_1 , X_2 , X_3 , X_4

Dans cet exemple, nous avons généré un échantillon de taille $n = 10\,000$ selon la distribution des variables X_1 , X_2 , X_3 et X_4 .

Les courbes de distribution obtenues (Figure 15) présentent des concordances proches avec les distributions théoriques attendues, indiquant que ces variables suivent approximativement une loi normale.

Soit maintenant Y une variable aléatoire de moyenne 4 et de variance 3, $Y(4,3)$, alors :

$$\bullet \quad Z = \frac{Y-2}{\sqrt{3}} \sim N\left(\frac{2}{\sqrt{3}}, 1\right)$$

$$\text{où } E[Z] = E\left[\frac{Y-2}{\sqrt{3}}\right] = \frac{E[Y-2]}{\sqrt{3}} = \frac{2}{\sqrt{3}} \quad ; \quad \text{Var}[Z] = \text{Var}\left(\frac{Y-2}{\sqrt{3}}\right) = \left(\frac{1}{\sqrt{3}}\right)^2 \text{Var}(Y-2) = \frac{1}{3} \cdot 3 = 1$$

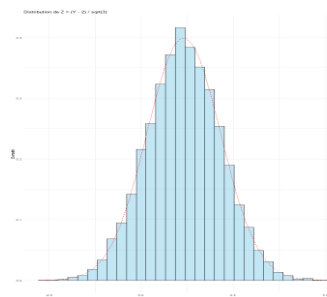


FIGURE 16 - Distribution de la variable Z

Dans cet exemple, nous avons généré un échantillon de taille $n = 10\,000$ selon la distribution de la variable Z .

La courbe de distribution obtenue (Figure 16) présente une concordance proche avec la distribution théorique attendue, indiquant que la variable Z suit approximativement une loi normale.

VI. Sommes de variables aléatoires gaussiennes

En se basant sur les résultats obtenus via les différentes simulations (Figure 17), si $X \hookrightarrow N(m_1, \sigma_1^2)$ et $Y \hookrightarrow N(m_2, \sigma_2^2)$, alors :

- $X + Y \rightsquigarrow N(m_1 + m_2, \sigma_1^2 + \sigma_2^2)$
- $X - Y \rightsquigarrow N(m_1 - m_2, \sigma_1^2 + \sigma_2^2)$

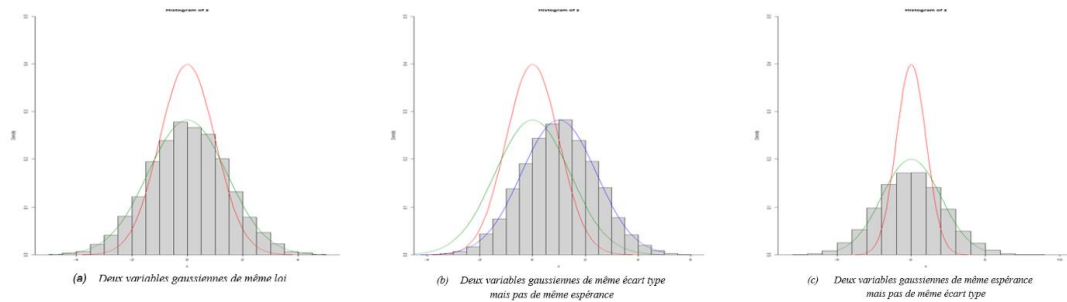


FIGURE 17 - Représentation graphique de variables aléatoires gaussiennes

Les variables X_i étant toutes des variables aléatoires gaussiennes centrées réduites, elles suivent toutes la loi $N(0, 1)$. Ainsi, chaque $X_i \sim N(0, 1)$, ce qui signifie que $\mu_i = 0$ et $\sigma_i^2 = 1$ pour tout i .

La variable \bar{X} est définie comme la moyenne de n variables gaussiennes centrées réduites, dont l'espérance $E[\bar{X}]$ et de variance $Var(\bar{X})$:

$$\mathbb{E}[\bar{X}] = \mathbb{E}\left[\frac{1}{n} \sum_{i=1}^n X_i\right] = \frac{1}{n} \sum_{i=1}^n \mathbb{E}[X_i] = \frac{1}{n} \sum_{i=1}^n 0 = 0 \quad \text{Var}(\bar{X}) = \text{Var}\left(\frac{1}{n} \sum_{i=1}^n X_i\right) = \frac{1}{n^2} \sum_{i=1}^n \text{Var}(X_i) = \frac{1}{n^2} \sum_{i=1}^n 1 = \frac{1}{n^2} \cdot n = \frac{1}{n}$$

Ainsi, on peut conclure que :

$$\bar{X} = \frac{1}{n} (X_1 + X_2 + X_3 + \dots + X_n) = \frac{1}{n} \sum_{i=1}^n X_i \quad \text{où } \bar{X} \sim N\left(0, \frac{1}{n}\right)$$

VII. Somme de carrés de variables gaussiennes centrées réduites

Si X_1, X_2, \dots, X_n sont des variables aléatoires indépendantes et identiquement distribuées suivant une loi normale standard $N(0, 1)$, alors la somme des carrés de ces variables suit une loi du khi-deux avec n degrés de liberté.

La formule peut être complétée alors de la manière suivante :

$$X_1^2 + X_2^2 + X_3^2 + \dots + X_n^2 \sim \chi^2(n)$$

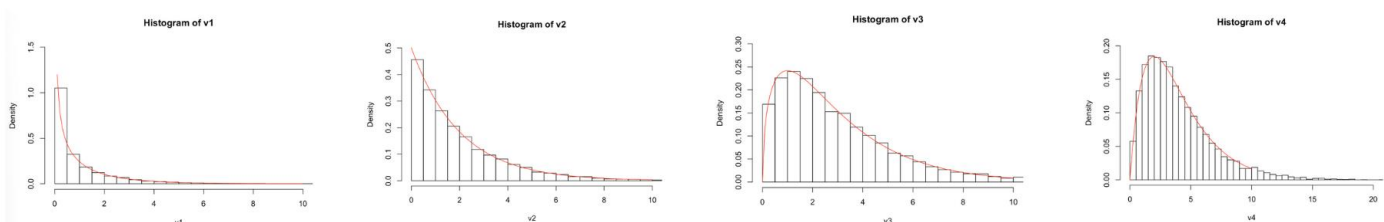


FIGURE 18 - Représentation graphique de somme de carrés de variables gaussiennes centrées réduites

VIII. Exercice

Pour répondre à ces différentes questions, nous allons utiliser les propriétés de la loi normale. Étant donné que la taille X des hommes suit une loi normale de moyenne $\mu = 172$ cm et de variance $\sigma^2 = 196$ cm², nous pouvons alors en déduire que l'écart-type σ est $\sigma = \sqrt{196} = 14$ cm.

- Probabilité que X soit inférieur à 160 cm ?

$$Z = \frac{X - \mu}{\sigma} = \frac{160 - 172}{14} = \frac{-12}{14} \approx -0.857 \quad ; \quad P(X < 160) = P(Z < -0.857) \approx 0.1967 \text{ (ou 19.67 \%)}$$

- Probabilité qu'un homme tiré au hasard mesure plus de deux mètres ?

$$Z = \frac{200 - 172}{14} = \frac{28}{14} = 2 \quad ; \quad P(X > 200) = P(Z > 2) \approx 0.0228 \text{ (ou 2.28 \%)}$$

- Calcul de $P(165 < X < 185)$

$$Z_{165} = \frac{165 - 172}{14} \approx -0.5 \quad \text{et} \quad Z_{185} = \frac{185 - 172}{14} \approx 0.9286$$

$$P(165 < X < 185) = P(Z < 0.9286) - P(Z < -0.5) \approx 0.5149 \text{ (ou 51.49 \%)}$$

- Probabilité qu'un homme soit plus grand qu'une femme choisie au hasard

$$Y = X_{\text{homme}} - X_{\text{femme}} \rightarrow \mu_Y = \mu_h - \mu_f = 172 - 162 = 10 \text{ cm} \quad ; \quad \sigma_Y = \sqrt{\sigma_h^2 + \sigma_f^2} = \sqrt{196 + 144} \approx 18.44 \text{ cm}$$

$$P(Y > 0) = P\left(Z > \frac{0 - \mu_Y}{\sigma_Y}\right) = P\left(Z > \frac{0 - 10}{18.44}\right) \quad ; \quad P(Y) \approx 0.7062 \text{ (ou 70.62 \%)}$$

IX. Loi Exponentielle

On dit que X suit une loi exponentielle de paramètre $\lambda > 0$, ce que l'on note $X \hookrightarrow E(\lambda)$ si et seulement si sa fonction densité est :

$$\forall x \in \mathbb{R}, f(x) = \begin{cases} \lambda \exp(-\lambda x) & \text{si } x \geq 0 \\ 0 & \text{sinon} \end{cases}$$

Pour vérifier que f est bien une fonction densité, il faut vérifier les deux conditions suivantes :

- Non-négativité

$$\text{pour } x \geq 0, f(x) = \lambda \cdot e^{-\lambda x} \geq 0 \quad ; \quad \text{pour } x < 0, f(x) = 0 \quad ; \quad \text{donc } \forall x, f(x) \geq 0$$

- Intégration à 1

$$\int_{-\infty}^{+\infty} f(x) dx = \int_0^{+\infty} \lambda \cdot e^{-\lambda x} dx = 1 \quad ; \quad \int_0^{+\infty} e^{-\lambda x} \left(-\frac{1}{\lambda}\right) dx = 1$$

Puisque $f(x)$ est non-négatif pour tout x et que son intégrale sur \mathbb{R} est égale à 1, il est possible de conclure que $f(x)$ est bien une fonction densité de probabilité pour la loi exponentielle de paramètre $\lambda > 0$.

Bibliographie

- [1] « TP 2 : Simulation de lois de probabilités ». [En ligne]. Disponible sur:
<https://fcorset.github.io/TPs/tp2.html>
- [2] « Loi des grands nombres ». [En ligne]. Disponible sur:
<https://www.bibmath.net/dico/index.php?action=affiche&quoi=.l/lgn.html>
- [3] « Loi uniforme discrète ». [En ligne]. Disponible sur:
<https://bibmath.net/dico/index.php?action=affiche&quoi=.l/loiunifdisc.html>
- [4] « Stat_Cours5.pdf ». [En ligne]. Disponible sur:
https://ernst.r.perso.math.cnrs.fr/cours/Stat_Cours5.pdf
- [5] « Loi de Bernoulli ». [En ligne]. Disponible sur:
<https://www.bibmath.net/dico/index.php?action=affiche&quoi=.l/loibernoulli.html>
- [6] « Loi binomiale ». [En ligne]. Disponible sur:
<https://www.bibmath.net/dico/index.php?action=affiche&quoi=.l/loibinomiale.html>
- [7] « Loi géométrique », *Wikipédia*. 9 juin 2024. [En ligne]. Disponible sur:
https://fr.wikipedia.org/w/index.php?title=Loi_g%C3%A9om%C3%A9trique&oldid=215823436
- [8] « Loi géométrique ». [En ligne]. Disponible sur:
<https://www.bibmath.net/dico/index.php?action=affiche&quoi=.l/loigeometrique.html>
- [9] « Loi de Poisson ». [En ligne]. Disponible sur:
<https://www.bibmath.net/dico/index.php?action=affiche&quoi=.l/loipoisson.html>
- [10] « 332.pdf ». [En ligne]. Disponible sur:
<https://www.mathemathieu.fr/component/attachments/download/332>
- [11] « Loi uniforme continue ». [En ligne]. Disponible sur:
<https://www.bibmath.net/dico/index.php?action=affiche&quoi=.l/loiunifcont.html>
- [12] « Loi normale ». [En ligne]. Disponible sur:
<https://www.bibmath.net/dico/index.php?action=affiche&quoi=.l/loinormale.html>
- [13] « Variables aléatoires à densité ». [En ligne]. Disponible sur:
<https://www.bibmath.net/ressources/index.php?action=affiche&quoi=capex/cours/vadensite.html>

Annexes

```

1
2 # Introduction
3 #####
4
5 # Lois discrètes
6 #####
7
8 ## 1. Loi uniforme discrète
9 ## 2. Loi de Bernoulli
10 ## 3. Loi binomiale
11 ## 4. Loi géométrique
12 ## 5. Loi de Poisson
13
14 # Simulez différentes lois de Poisson en faisant varier λ ainsi que la taille de l'échantillon
15 lambda1 <- 1
16 lambda2 <- 5
17 lambda3 <- 10
18 sample1 <- rpois(1000, lambda1)
19 sample2 <- rpois(1000, lambda2)
20 sample3 <- rpois(1000, lambda3)
21
22 data <- data.frame(
23   value = c(sample1, sample2, sample3),
24   group = factor(rep(c(paste("λ = ", lambda1),
25     paste("λ = ", lambda2),
26     paste("λ = ", lambda3))),
27     each = 1000),
28   levels = c(paste("λ = ", lambda1),
29     paste("λ = ", lambda2),
30     paste("λ = ", lambda3)))
31
32 ggplot(data, aes(x = value, fill = group)) +
33   geom_histogram(position = "identity", alpha = 0.5, bins = 30) +
34   labs(title = "Comparaison des histogrammes de trois lois de Poisson",
35     x = "Valeurs",
36     y = "Fréquence",
37     fill = "Distribution") +
38   scale_fill_manual(values = c("blue", "red", "green")) +
39   theme_minimal()
40
41 # Lois continues
42 #####
43
44 ## Loi uniforme sur [0,1], notée U[0,1]
45 ## Loi uniforme sur [a,b], notée U[a,b] avec (a,b)
46 ## Loi normale centrée réduite, notée N(0,1)
47 ## Loi normale N(u,σ²)
48
49 # Exercices sur la loi normale
50 #####
51
52 ## Distribution des valeurs
53 ## Question 1
54 ## Question 2
55 ## Question 3
56 ## Question 4
57 ## Question 5
58 ## Question 6
59
60 moyenne <- 15 # Définition moyenne
61 sigma <- 9 # Définition sigma
62 prob_x_le_17 <- pnorm(17, mean = moyenne, sd = sigma) # Probabilité que X ≤ 17
63 prob_x_gt_7 <- 1 - pnorm(7, mean = moyenne, sd = sigma) # Probabilité que X > 7
64 prob_7_lt_x_lt_15 <- pnorm(15, mean = moyenne, sd = sigma) - pnorm(7, mean = moyenne, sd = sigma) # Probabilité que 7 < X < 15
65 # Résultats
66 prob_x_le_17
67 prob_x_gt_7
68 prob_7_lt_x_lt_15
69
70 # Liens entre lois normales
71 #####
72
73 ## Partie 1
74 n <- 10000 # Nombre de simulations
75 set.seed(123)
76 X <- rnorm(n, mean = 0, sd = 1) # Génération de X ~ N(0, 1)
77
78 X1 <- X + 1
79 X2 <- X - 1
80 X3 <- 2 * X
81 X4 <- X / 2
82
83 # Données pour le graphique
84 data <- data.frame(
85   value = c(X1, X2, X3, X4),
86   variable = factor(rep(c("X1 = X + 1", "X2 = X - 1", "X3 = 2X", "X4 = X / 2"), each = n)))
87
88 # Tracé des graphiques de densité avec une boucle
89 ggplot(data, aes(x = value)) +
90   geom_histogram(aes(y = after_stat(density)), bins = 30, color = "black", fill = "skyblue", alpha = 0.5) +
91   facet_wrap(~ variable, scales = "free") +
92   # Fonction pour X1
93   stat_function(data = subset(data, variable == "X1 = X + 1"), aes(x = value),
94     fun = dnorm, args = list(mean = 1, sd = 1), color = "red", linetype = "dashed") +
95   # Fonction pour X2
96   stat_function(data = subset(data, variable == "X2 = X - 1"), aes(x = value),
97     fun = dnorm, args = list(mean = -1, sd = 1), color = "red", linetype = "dashed") +
98   # Fonction pour X3
99   stat_function(data = subset(data, variable == "X3 = 2X"), aes(x = value),
100     fun = dnorm, args = list(mean = 0, sd = 2), color = "red", linetype = "dashed") +
101   # Fonction pour X4
102   stat_function(data = subset(data, variable == "X4 = X / 2"), aes(x = value),
103     fun = dnorm, args = list(mean = 0, sd = 0.5), color = "red", linetype = "dashed") +
104   labs(title = "Comparaison des distributions simulées et théoriques",
105     x = "Valeurs", y = "Densité") +
106   theme_minimal() +
107   theme(legend.position = "none")
108
109 ## Partie 2
110 n <- 10000 # Nombre de simulations
111 set.seed(123) # Pour la reproductibilité
112 Y <- rnorm(n, mean = 4, sd = sqrt(3)) # Génération de Y ~ N(4, 3)
113
114 Z <- (Y - 2) / sqrt(3) # Calcul de la variable Z
115
116 # Données pour le graphique
117 data <- data.frame(value = Z)
118
119 # Tracé de l'histogramme pour Z
120 ggplot(data, aes(x = value)) +
121   geom_histogram(aes(y = after_stat(density)), bins = 30, color = "black", fill = "skyblue", alpha = 0.5) +
122   # Fonction pour Z
123   stat_function(aes(x = value),
124     fun = dnorm, args = list(mean = 2 / sqrt(3), sd = 1), color = "red", linetype = "dashed") +
125   labs(title = "Distribution de Z = (Y - 2) / sqrt(3)",
126     x = "Valeurs de Z", y = "Densité") +
127   theme_minimal()

```

```

128
129 # Sommes de variables aleatoires gaussiennes
130 #####
131
132 old_par <- par()
133 par(xaxs = "i", yaxs = "i")
134
135 # Deux variables gaussiennes de meme loi
136 x <- rnorm(10000, 0, 1)
137 y <- rnorm(10000, 0, 1)
138
139 z <- x + y
140 hist(z, breaks = 20, freq = FALSE, ylim = c(0, 0.5))
141 curve(dnorm, from = -4, to = 4, add = TRUE, col = "red") # la loi N(0,1)
142
143 x <- seq(-5,5,0.1)
144 lines(x, dnorm(x, 0, sqrt(2)), col = "green4") # la loi proposee
145
146 # Deux variables gaussiennes de meme ecart type mais pas de meme esperance
147 x <- rnorm(10000, 0, 1)
148 y <- rnorm(10000, 1, 1)
149
150 z <- x + y
151 hist(z, breaks = 20, freq = FALSE, ylim = c(0, 0.5))
152 curve(dnorm, from = -4, to = 4, add = TRUE, col = "red") # la loi N(0,1)
153
154 x <- seq(-5, 5, 0.1)
155 lines(x, dnorm(x, 0, sqrt(2)), col = "green4") # la loi proposee
156 lines(x, dnorm(x, 1, sqrt(2)), col = "blue")
157
158 # Deux variables gaussiennes de meme esperance mais pas de meme ecart type
159 x <- rnorm(10000, 0, 1)
160 y <- rnorm(10000, 0, 2)
161
162 z <- x + y
163 hist(z, breaks = 20, freq = FALSE, ylim = c(0, 0.5))
164 curve(dnorm, from = -4, to = 4, add = TRUE, col = "red")
165
166 x <- seq(-5, 5, 0.1)
167 lines(x, dnorm(x, 0, sqrt(4)), col = "green4") # la loi proposee
168
169
170 ## Ecrire un script pour expliquer la loi d'une moyenne de lois gaussiennes
171
172 # Définir les paramètres
173 mu <- 5 # Espérance de la distribution gaussienne
174 sigma <- 2 # Ecart-type de la distribution gaussienne
175 n <- 30 # Taille de chaque échantillon
176 repeats <- 1000 # Nombre de répétitions pour estimer la distribution de X_bar
177
178 # Générer les échantillons de la moyenne de n variables gaussiennes
179 set.seed(123) # Pour reproductibilité
180 sample_means <- replicate(repeats, mean(rnorm(n, mean = mu, sd = sigma)))
181
182 # Tracer l'histogramme de la distribution de X_bar
183 hist(sample_means, breaks = 50, probability = TRUE, main = expression(paste("Distribution de ", bar(X), " avec n = ", n)),
184 | | xlab = expression(bar(X)), col = "lightgreen", border = "black")
185
186 # Superposer la densité de la loi normale attendue N(mu, sigma^2/n)
187 x_vals <- seq(min(sample_means), max(sample_means), length = 100)
188 y_vals <- dnorm(x_vals, mean = mu, sd = sigma / sqrt(n))
189 lines(x_vals, y_vals, col = "blue", lwd = 2)
190 legend("topright", legend = c("Histogramme des moyennes", expression(paste("Densité de ", N(mu, sigma^2/n)))),
191 | | col = c("lightgreen", "blue"), lwd = 2, bty = "n")
192
193 # Sommes de carrés de variables gaussiennes centrees reduites
194 #####
195
196 # Exercices
197 #####
198
199 # Parametres pour la loi normale des hommes
200 mu_men <- 172 # Moyenne
201 sigma_men <- 14 # écart-type
202
203 # 1. Probabilité que X < 160 cm
204 prob_1 <- pnorm(160, mean = mu_men, sd = sigma_men)
205
206 # 2. Probabilité que X > 200 cm
207 prob_2 <- 1 - pnorm(200, mean = mu_men, sd = sigma_men)
208
209 # 3. Probabilité que 165 < X < 185 cm
210 prob_3 <- pnorm(185, mean = mu_men, sd = sigma_men) - pnorm(165, mean = mu_men, sd = sigma_men)
211
212 # 4. Probabilité que X_h > X_f
213 mu_women <- 162 # Moyenne
214 sigma_women <- 12 # écart-type
215 mu_diff <- mu_men - mu_women
216 sigma_diff <- sqrt(sigma_men^2 + sigma_women^2)
217
218 prob_4 <- 1 - pnorm(0, mean = mu_diff, sd = sigma_diff)
219
220 # Affichage des résultats
221 cat("P(X < 160) =", prob_1, "\n")
222 cat("P(X > 200) =", prob_2, "\n")
223 cat("P(165 < X < 185) =", prob_3, "\n")
224 cat("P(X_h > X_f) =", prob_4, "\n")
225
226 # Loi exponentielle
227 #####
228

```